

مقاله پژوهشی

ارزیابی خستگی ذهنی با استفاده از ثبت سیگنال های مغزی: الکتروانسفالوگرافی

بهزاد فولادی دهقی^{۱,۲}، عباس محمدی^{۱,۳}، لیلا نعمت پور^{۴*}

۱. مرکز تحقیقات فناوری های زیست محیطی، دانشگاه علوم پزشکی جندی شاپور اهواز، ایران
۲. دانشیار، گروه مهندسی بهداشت حرفه ای و ایمنی کار، دانشکده بهداشت، دانشگاه علوم پزشکی جندی شاپور اهواز، ایران
۳. استادیار، گروه مهندسی بهداشت حرفه ای و ایمنی کار، دانشکده بهداشت، دانشگاه علوم پزشکی جندی شاپور اهواز، ایران
۴. کارشناسی ارشد، گروه مهندسی بهداشت حرفه ای و ایمنی کار، دانشگاه علوم پزشکی جندی شاپور اهواز، ایران

اطلاعات مقاله	چکیده
تاریخ وصول: ۱۳۹۸/۰۱/۱۰ تاریخ پذیرش: ۱۳۹۸/۰۴/۰۹ انتشار آنلاین: ۱۳۹۸/۰۴/۰۹	<p>زمینه و هدف: خستگی ذهنی وضعیتی است که با فعالیت طولانی مدت شناختی ایجاد می شود. خستگی ذهنی به فعالیت بیش از حد مغزی منجر می شود که در آن سلوک های مغزی خسته و مانع بهره وری فرد و عملکرد کلی شناختی می شود. هدف از این پژوهش ارزیابی خستگی ذهنی دانشجویان با استفاده از شاخص های مغزی است.</p>
روش کار: این پژوهش توصیفی - تحریکی است که روی ۲۰ تا از دانشجویان دانشکده بهداشت با میانگین (انحراف معیار) سنتی ۲۴/۴۰ (۳/۷۳) سال در سال ۱۳۹۷ در دانشگاه علوم پزشکی اهواز انجام شده است. برای بررسی عملکرد شرکت کنندگان از آنها خواسته شد متنی با غلط های املایی را بررسی و آن غلطها را تصویح کنند. این فعالیت در ۵ مرحله ۱۵ دقیقه ای انجام شد. در همه مراحل الکتروانسفالوگرام (EEG) آنها ثبت و در هر مرحله مقیاس آنالوگ بصری توسط شرکت کنندگان تکمیل شد. از نرم افزار SPSS نسخه ۲۴، برای تجزیه و تحلیل داده ها استفاده شد.	نویسنده مسئول: لیلا نعمت پور کارشناسی ارشد، گروه مهندسی بهداشت حرفه ای و ایمنی کار، دانشکده بهداشت، دانشگاه علوم پزشکی جندی شاپور اهواز، ایران
<p>یافته ها: فعالیت امواج آلفا، بتا و تتا در ۱۵ دقیقه اول بهتر ترتیب، $0/89 \pm 0/30$، $0/89 \pm 0/33$ و $0/19 \pm 0/36$ و $0/70 \pm 0/33$ و $0/19 \pm 0/30$ و $0/19 \pm 0/36$ دقیقه آخر بهتر ترتیب $0/63 \pm 0/34$، $0/58 \pm 0/26$ و $0/58 \pm 0/34$ و $0/10 \pm 0/34$ بود. کاهش در فعالیت امواج مغز افزایش میزان خستگی ذهنی آنها را نشان می دهد. همچنین افراد با مقیاس آنالوگ بصری بیان داشته اند که دچار خستگی ذهنی شده اند. مطابق با نتایج ارتباط معنی داری بین EEG و مقیاس آنالوگ بصری دانشجویان دیده نشد.</p>	پست الکترونیک: Lnematpour94@gmail.com
<p>نتیجه گیری: امواج آلفا، بتا و تتا می توانند شاخص های مناسبی برای ارزیابی خستگی ذهنی باشند. همچنین خستگی ذهنی می تواند عاملی باشد که بر دقت و عملکرد افراد تأثیر بگذارد؛ به گونه ای که به کاهش توجه و بازدهی آنها منجر شود.</p>	
واژه های کلیدی: الکتروانسفالوگرافی، مقیاس آنالوگ بصری، خستگی ذهنی، دقت و عملکرد	

کار، افزایش در میزان و شدت اشتباهات است [۲]. افراد خسته از لحاظ ذهنی اغلب به سختی قادر به حفظ توجه و تمرکز بوده و به راحتی پریشان و حواس پرت می شوند که این اثرات خستگی ذهنی را بر میزان توجه نشان می دهد [۳]. هنگامی که فرد خسته می شود مشکلات اشتباهات در حفظ توجه و تمرکز بر کار افزایش می یابد. در فرایند خستگی ذهنی شخص در حال گذر از حالت هوشیاری به خستگی است [۴]. خستگی می تواند بر دستگاه قلب و عروق تأثیر بگذارد و بیماری های روانی، کندی ذهن، بی خوابی، ضعف، کاهش حافظه، افزایش ناخوشی، بی تعادلی و حتی درد ماهیچه ای را به وجود آورد [۵]. خستگی یکی از مهم ترین مسائل در محیط های کاری است که در اشکال مختلف بروز می کند. به همین علت نمی توان آن را با یک آزمون یا تغییر عملکرد

مقدمه

خستگی فرایندی تجمعی و تدریجی است. با این تصور که با بی میل برای هر گونه تلاش، کاهش کارایی، هوشیاری و در نهایت اختلال در عملکرد ذهنی همراه است که می تواند به صورت خستگی جسمی یا خستگی ذهنی باشد [۶]. از عوامل ایجاد کننده خستگی می توان به ساعت کاری طولانی، گرما یا سرمای بیش از اندازه، کمبود یا فزونی روشنایی، خواب کم و نامنظم، اختلالات فیزیولوژیک و نورولوژیک، فعالیت یکنواخت، مشکلات اجتماعی و خانوادگی و نوبت شب اشاره کرد [۷]. هنگامی که افراد برای زمان طولانی در حال انجام وظیفه هستند به استفاده از عملکردهای شناختی نیاز دارند؛ بنابراین اغلب خستگی ذهنی را تجربه خواهند کرد که انعکاس آن عملکرد روبره افول، کاهش انگیزه برای ادامه

هدف این پژوهش ارزیابی خستگی ذهنی و تأثیر آن بر دقت و عملکرد افراد هنگام فعالیت ذهنی به منظور مرتبطسازی معیارهای ذهنی و عینی برای اندازه‌گیری خستگی ذهنی در مراحل اولیه خود با استفاده از EEG و مقیاس آنالوگ بصری است.

مواد و روش‌ها

شرکت‌کنندگان

در این پژوهش توصیفی - تجربی ۲۰ دانشجو (۱۰ مرد و ۱۰ زن) با محدوده سنی ۱۸ تا ۳۰ سال با میانگین (انحراف معیار) ۲۴/۴۰ (۳/۷۳) مشارکت کردند. طبق فرمولی که در ادامه آمده حجم نمونه ۱۸ نفر تعیین شد. درمجموع ۲۰ نفر داوطلبانه در پژوهش مشارکت کردند.

$$N = Z^2 \cdot \alpha/2 * \delta^2/d^2$$

این پژوهش رأس ساعت ۸:۳۰ صبح به مدت ۷۵ دقیقه در یک محیط آزمایشگاهی کنترل شده از نظر دما و صدا انجام شد. قبل از انجام آزمون، از پرسشنامه ارزیابی شیوه زندگی که در زمینه موارد منع پزشکی (بیماری شدید، مصرف دارو، سوءصرف مواد مخدر و مشکلات روانی و انجام ندادن فعالیت سنگین) است به عنوان معیار ورود به پژوهش استفاده شد. افرادی که با این ابزار قابل قبول تشخیص داده نمی‌شدند، از مطالعه کنار گذاشته شدند. از شرکت‌کنندگان خواسته شد که از مصرف کافئین یا چای، تقریباً ۴ ساعت قبل از پژوهش، و مصرف سیگار، تا ۲۴ ساعت قبل از آن، اجتناب کنند [۱۶]. الزامات اخلاقی در این پژوهش رعایت شده است؛ به نحوی که مشارکت‌کنندگان ابتدا از محتوای آزمون مطلع شدند، سپس داوطلبانه در پژوهش شرکت کردند.

دستورالعمل و روش جمع‌آوری داده‌ها

قبل از شروع آزمون از شرکت‌کنندگان خواسته شد روی صندلی تهیه شده برای انجام آزمون در پنج مرحله ۱۵ دقیقه‌ای بنشینند تا کلاه براساس سایز سر شرکت‌کننده و مطابق دستورالعمل سازنده تنظیم شود. برای ایجاد خستگی ذهنی از افراد خواسته شد تا وظایف فکری به نسبت طولانی را انجام دهند. برخی پژوهش‌ها نشان داده‌اند که تمرکز طولانی مدت به بروز خستگی منجر می‌شود [۲، ۱۷]. شرکت‌کنندگان در مرحله اول بدون هیچ گونه فعالیتی می‌نشینند و فعالیت امواج مغزی آن‌ها توسط EEG ثبت می‌شود. در مرحله دوم تا پنجم، برای بررسی دقت و عملکرد، یک متن ادبی یکسان با تعداد غلط‌های املایی مشخص شده در هر مرحله را مطالعه و ابتدای مطالعه و پس از هر ۱۵ دقیقه مقیاس آنالوگ بصری توسط افراد تکمیل می‌شود تا خستگی ذهنی و شدت آن طی آزمایش به دست آید. برای این مقیاس شرکت‌کنندگان مجاز به نشان دادن یک مقیاس ۱۰ امتیازی هستند که به ترتیب عدد ۱۰ پایین‌ترین و عدد صفر بالاترین مقدار شدت خستگی را نشان می‌دهد [۱۸].

ارزیابی کرد [۶]. برای اندازه‌گیری خستگی در محیط کاری باید در ابتدای امر مشخصه‌های فیزیولوژیک مرتبط با خستگی را شناخت و بعد آن را اندازه‌گیری و ارزیابی کرد [۷]. نمی‌توان خستگی را به طور مستقیم اندازه‌گیری کرد، اما می‌توان برخی از علایم مرتبط با خستگی را شناسایی و نشانه‌های فیزیولوژیک و روانی مرتبط با این علایم را اندازه‌گیری کرد.

برخی از پژوهشگران برای سنجش تغییرات فیزیولوژیکی افراد از فعالیت‌های مغزی مانند الکتروانسفالوگرافی (EEG) به عنوان وسیله‌ای برای رديابی خستگی و سطح هوشیاری استفاده کرده‌اند [۸، ۹]. الکتروانسفالوگرافی روشی است که با بهره‌گیری از آن می‌توان پتانسیل‌های الکتریکی حاصل از فعالیت عصبی سلول‌های مغزی به نام الکتروانسفالوگرام را ثبت و مشاهده کرد. سیگنال‌های EEG همه فعالیت‌های فیزیکی و ذهنی در مغز را منعکس می‌کند. با این روش الگوهای الکتریکی مختلفی را در مغز انسان می‌توان ثبت کرد. این الگوهای ثبت فعالیت مغزی امواج بتا (۱۲ تا ۳۰ هرتز: سطح هوشیاری بالا)، آلفا (۸ تا ۱۲ هرتز: آرامش)، بتا (۴ تا ۸ هرتز: خستگی) و دلتا (۰ تا ۴ هرتز: سطح هوشیاری پایین) هستند [۱۰].

خودگزارش‌دهی روش دیگری است که فرد میزان خستگی خود را گزارش می‌دهد. برای اجرای این روش از مقیاس آنالوگ بصری استفاده می‌شود [۱۱]. Arghami و همکاران در پژوهشی میزان همخوانی نتایج اندازه‌گیری خستگی ذهنی را با مقیاس آنالوگ بصری و دستگاه فلیکرفیوژن بررسی کرده‌اند. در این پژوهش دانشجویان به انجام وظایف فکری پرداختند و خستگی ذهنی خود را توسط مقیاس آنالوگ بصری اظهار داشتند. همچنین خستگی ذهنی آنها با دستگاه فلیکرفیوژن همزمان اندازه‌گیری شد. نتایج نشان می‌دهد که در هر دو روش خستگی ذهنی پس از انجام وظایف فکری افزایش معنی‌داری دارد، اما نتایج دو روش با یکدیگر همخوانی ندارد [۱۲]. در پژوهش دیگری [۱۲] و همکاران تأثیر فعالیت‌های فیزیکی - ذهنی را بر خستگی ذهنی توسط EEG بررسی کرده‌اند. آنها در پژوهش خود از فعالیت فیزیکی دوچرخه‌سواری در کنار فعالیت ذهنی استفاده کردند. نتایج نشان می‌دهد که خستگی ذهنی در طول کار فیزیکی - ذهنی سریع‌تر افزایش می‌یابد [۱۳]. Rajaventanarayanan و همکاران در پژوهش خود تأثیر خستگی ذهنی را بر رفتار و عملکرد خلبانان توسط EEG و مقیاس خودگزارش‌دهی ارزیابی کرده‌اند. نتایج این پژوهش نشان می‌دهد که با انجام فعالیت فیزیکی و ذهنی افراد دچار خستگی ذهنی می‌شوند. این در حالی است که عملکرد آنها افزایش می‌یابد [۱۴]. Nematpour و همکاران خستگی ذهنی را بر عملکرد کارکنان توسط EEG و مقیاس خودگزارش‌دهی بررسی کرده‌اند. شرکت‌کنندگان هنگام فعالیت ذهنی خستگی ذهنی خود را اعلام کردند. همچنین عملکرد آنها طی آزمایش کاهش می‌یابد [۱۵].

را پردازش می‌کند. برای قراردادن الکترودها از استاندارد بین‌المللی $10/20$ استفاده شد. از وروdi A دستگاه نکسوس برای اندازه‌گیری الکتروانسفالوگرافی استفاده و مطابق دستورالعمل دستگاه گوش چپ برای الکترود مرجع استفاده شد. الکترود قرمز روی نقطه Cz سر (واقع در ناحیه اکسیپیتال) و الکترود زمینه (سفید) روی گوش راست قرار داده شد [۲۰].

تجزیه و تحلیل داده‌ها

برای نرمال‌بودن توزیع داده‌ها از آزمون کولموگروف-اسمیرنوف (K-S) استفاده شد. برای بررسی اثرات زمان بر متغیرهای مختلف از ضرایب همبستگی پیرسون و برای مقایسه ابزار متغیر وابسته از آزمون t زوجی استفاده شد. داده‌ها با استفاده از نرم‌افزار SPSS Inc (SPSS Inc) ۲۴-SPSS (USA) تجزیه و تحلیل شد.

یافته‌ها

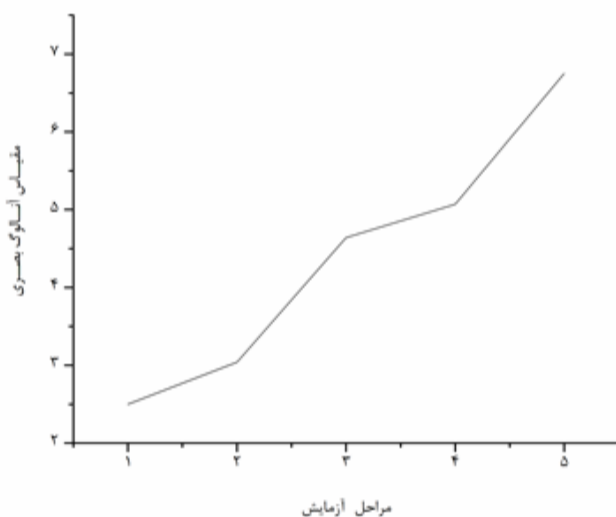
مقیاس خودگزارش‌دهی

سطح خستگی ذهنی گزارش شده با استفاده از مقیاس آنالوگ بصری در شکل ۱ نشان داده شده است. روند صعودی نمودار نشان‌دهنده افزایش میزان میزان خستگی ذهنی در طول مراحل آزمایش است. میانگین و انحراف معیار مقیاس آنالوگ بصری در 15 دقیقه ابتدایی و انتهایی پژوهش به ترتیب $2/50 \pm 0/95$ و $2/50 \pm 1/11$ بود. همچنین آزمون t زوجی نشان می‌دهد که بین میزان خودگزارشیابی در 15 دقیقه ابتدایی و انتهایی پژوهش اختلاف معنی‌داری وجود دارد ($P \leq 0/05$).

سیگنال EEG ثبت شده آغشته به نویز و مصنوعاتی است که منشائی غیر از مغز دارد. منبع نویز و مصنوعات موجود در سیگنال شامل حرکت ماهیچه‌های بدن، حرکت چشم و پلک زدن، ضربان قلب و تجهیزات الکتریکی است. روش‌های متعددی برای حذف نویز و مصنوعات وجود دارد. از جمله پالایه میان‌گذر برای حذف مصنوعات فیزیولوژیک و تحلیل مؤلفه‌های مستقل (Independent Component Analysis; ICA) برای حذف مصنوعات غیرفیزیولوژیک [۱۹]. برای تحلیل کمی نتایج و پردازش سیگنال‌ها از یک فرایند ریاضی Fast Fourier Transform (FFT) استفاده می‌شود. توسط نرم‌افزار Bio Trace سازگار با خود دستگاه مصنوعات و حرکات چشم پالایه شده و همه داده‌ها را مستقیماً تبدیل می‌کند. با استفاده از FFT امواج ثبت شده به عدد و اعداد نیز بهنوبه‌خود به تصاویر و نمودارها تبدیل می‌شود [۲۰].

ثبت داده‌ای الکتروانسفالوگرافی

از دستگاه پرتابل ۴-Nexus ساخت شرکت مایند مدیا (Mind Media B.V. Company, Netherlands) هلند (Netherlands) نمونه‌برداری $10/24$ هرتز و به صورت 24 بیتی با استفاده از الکترودهای فعل سیگنال‌های EEG استفاده شد. سپس اطلاعات ثبت شده به کامپیوتر انتقال داده و با نرم‌افزار BioTrace ساخت شرکت مایند مدیا هلند (Mind Media B.V. Company, Netherlands) پردازش شد. این نرم‌افزار برای پردازش سیگنال EEG یا دیگر داده‌های الکتروفیزیولوژیکی، حذف مصنوعات و اغتشاش سیگنال‌ها



شکل ۱. سطح خستگی ذهنی گزارش شده (مقیاس آنالوگ بصری) در ۵ مرحله: ۱. دقیقه ۱۵؛ ۲. دقیقه ۳۰؛ ۳. دقیقه ۴۵؛ ۴. دقیقه ۶۰. ۵. دقیقه ۷۵.

بعدی میزان فعالیت مطالعه‌ای آنها نشان داده شده است. همان‌طور که مشاهده می‌شود عملکرد و دقیقت کنندگان به مرور زمان در هر مرحله کاهش داشته است. نتایج نشان می‌دهد که عملکرد کارکنان در 15 دقیقه اول و آخر اختلاف معنی‌داری دارد ($P \leq 0/05$).

دقیقت و عملکرد

میزان دقیقت و عملکرد دانشجویان در مراحل مختلف آزمایش به صورت میانگین و انحراف معیار در جدول ۱ آمده است. در مرحله اول افراد بدون مطالعه بوده‌اند و در مراحل

جدول ۱. دقت و عملکرد دانشجویان در ۵ مرحله: ۱. صفر تا ۱۵ دقیقه؛ ۲. ۳۰ تا ۴۵ دقیقه؛ ۳. ۴۵ تا ۶۰ دقیقه؛ ۴. ۷۵ تا ۸۵ دقیقه.

مراحل	زمان	گزارش خطای
۵	۶۰-۷۵	۱۷/۳۷±۲/۳۲
۴	۴۵-۶۰	۱۹/۵۰±۲/۹۲
۳	۳۰-۴۵	۲۵/۰۰±۳/۲۰
۲	۱۵-۳۰	۲۹/۱۲±۲/۸۵
۱	۰-۱۵	-

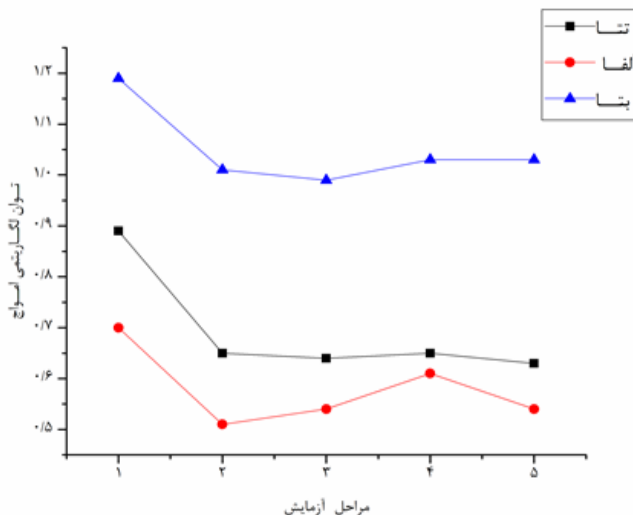
اختلاف معنی‌داری در میانگین توان امواج تتا مشاهده نشد.

مقایسه خستگی ذهنی و عینی دانشجویان توسط EEG و مقیاس آنالوگ بصری با استفاده از آزمون پیرسون در جدول ۳ نشان داده شده است. نتایج نشان می‌دهد در مرحله ابتدایی پژوهش که دانشجویان بدون فعالیت ذهنی بودند بین خستگی عینی ثبت شده و خستگی ذهنی گزارش شده ارتباطی وجود ندارد. در ادامه و با شروع فعالیت ذهنی افراد باز هم تا آخرین مرحله از آزمایش هیچ‌گونه ارتباطی بین EEG و مقیاس آنالوگ بصری دیده نشد ($P \geq 0.056$). ضریب همبستگی به دست آمده در همه مراحل منفی شد که تأثیر معکوس این دو متغیر را بر یکدیگر نشان می‌دهد.

الکتروانسفالوگرافی (EEG)

یافته‌های حاصل از امواج ثبت شده آلفا، بتا و تتا نشان می‌دهد که در ۱۵ دقیقه اول (استراحت) تا دقیقه ۳۰ سیر نزولی داشته‌اند. همچنین حین آزمون از دقیقه ۱۵ تا ۷۵ تقريباً ثابت بوده‌اند. در حالی که موج آلفا در دقیقه ۶۰ تا ۷۵ نزولی بود. به‌طور کلی روند نمودارها سیر نزولی داشته است (شکل ۲).

یافته‌های حاصل از توان امواج آلفا، بتا و تتا در ۱۵ دقیقه ابتدایی و انتهایی مطالعه در جدول ۲ آمده است. میانگین توان موج آلفا و بتا در ۱۵ دقیقه ابتدایی و انتهایی تفاوت معنی‌داری با هم دارد ($P \leq 0.050$). این در حالی است که



شکل ۲. تغییرات توان امواج مغزی

جدول ۲. توان امواج مختلف در ۱۵ دقیقه ابتدایی و انتهایی

پارامتر	۱۵ دقیقه ابتدایی (Mean±S.D.)	۱۵ دقیقه انتهایی (Mean±S.D.)	t	P
آلفا	۰/۸۹±۰/۳۰	۰/۸۳±۰/۳۴	۴/۲۰	۰/۰۰
بتا	۰/۷۰±۰/۳۳	۰/۵۵±۰/۲۶	۲/۲۷	۰/۰۵
تتا	۱/۱۹±۰/۲۶	۱/۰۳±۰/۲۴	۲/۲۴	۰/۰۶

جدول ۳. مقایسه خستگی ذهنی و عینی در دانشجویان

P	R	مقیاس آنالوگ بصری	EEG	مراحل
۰/۹۵	-۰/۰۲	۲/۳۰±۰/۸۲	۲/۲۲±۰/۴۷	۱
۰/۷۶	-۰/۱۰	۳/۴۰±۰/۹۶	۱/۸۹±۰/۲۹	۲
۰/۵۶	-۰/۲۰	۴/۲۰±۱/۳۱	۱/۸۰±۰/۴۵	۳
۰/۷۹	-۰/۹۸	۵/۲۰±۱/۳۱	۱/۷۷±۰/۵۰	۴
۰/۸۵	-۰/۰۶	۶/۱۰±۱/۶۶	۱/۹۶±۰/۲۴	۵

و همکاران خستگی ذهنی حاصل از تصاویر متحرک را توسط EEG و مقیاس آنالوگ بصری بررسی کردند. نتایج این پژوهش افزایش خستگی ذهنی توسط مقیاس آنالوگ بصری در شرکت‌کنندگان رانشان می‌دهد. همچنین توان امواج آلفا، دلتا و تتا در طول آزمایش افزایش داشته که نشان‌دهنده افزایش خستگی ذهنی در شرکت‌کنندگان است [۲۸].

در این پژوهش نوساناتی در فعالیت آلفا مشاهده شد. اگرچه در کل فعالیت آلفا سیر نزولی داشته، در فاصله زمانی ۳۰ تا ۶۰ دقیقه ثابت و ۷۵ تا ۸۰ دقیقه افزایش داشته است. پژوهش Charbonnier و همکاران کاهش فعالیت آلفا را در طول خستگی نشان می‌دهد که با نتایج این پژوهش خود افزایش جزئی را در فعالیت آلفا هنگام شروع و شکل‌گیری خستگی نشان داده‌اند [۲۶]. همچنین Eoh و همکاران در پژوهش خود افزایش جزئی آلفا بیشتر ظاهر می‌شود و طی آن مرکز کاهش می‌یابد [۳۰]. در این پژوهش در دقیقه ۱۵ تا ۳۰ سیر نزولی در فعالیت بتا و تتا با افزایش خستگی مشاهده شد، اما در دقیقه ۷۵ تا ۸۵ روند ثابت باقی‌ماند. برخی پژوهش‌ها کاهش معنی‌داری را در فعالیت بتا در طول پیشروی خستگی نشان می‌دهند و این نکته را ذکر می‌کنند که فعالیت بتا در طول هوشیاری و مرکز افزایش می‌یابد که نتایج این پژوهش را تأیید می‌کند [۳۰، ۲۹]. در پژوهشی که Zhao و همکاران برای خستگی ذهنی در رانندگان انجام داده‌اند افزایش موج تتا مشاهده شد، اما موج بتا کاهش داشت [۱۶]. پژوهش‌ها نشان می‌دهند که برخی از کانال‌ها با افزایش خستگی ذهنی رابطه مستقیم و بعضی دیگر رابطه عکس‌دار؛ بدین معنی که فعالیت مغزی در بعضی از نواحی سر با افزایش خستگی ذهنی زیاد شده و در بعضی نواحی کمتر می‌شود، البته با توجه به نقش اکثر کانال‌های ثبت EEG می‌توان گفت که همه نواحی سر در بروز خستگی ذهنی مؤثر هستند [۳۱، ۳۲].

مقایسه بین امواج آلفا، بتا و تتا در این پژوهش نشان می‌دهد که موج آلفا در سطح پایین‌تر و موج تتا در موقعیت بالاتری از نمودار قرار دارد. در حالت نرمال بیداری با چشم

بحث

با افزایش خستگی ذهنی عملکرد شرکت‌کنندگان به مرور زمان کاهش داشته که این روند به صورت خودگزارش دهی توسط شرکت‌کنندگان و بررسی امواج ثبت‌شده توسط EEG نیز تأیید شده است. کاهش در میزان امواج آلفا، بتا و تتا در طول آزمون نشان‌دهنده افزایش خستگی ذهنی افراد است. همچنین نتایج نشان می‌دهد که افزایش معنی‌داری در سطح خستگی در ۱۵ دقیقه ابتدایی و انتهایی مطالعه وجود دارد. پژوهش Zhang و Zheng که سطح خستگی افزایش معنی‌داری را در ابتدا و انتهای وظیفه آرمایش شده نشان می‌دهد با نتایج این پژوهش همخوان است [۲۱]. پژوهش‌های مختلف نشان می‌دهد که با افزایش سطح خستگی ذهنی، توان نسبی ریتم‌های تتا، آلفا و بتا کاهش می‌یابد [۲۲، ۲۳]. Pires و Pires که سطح خستگی ذهنی و تأثیر آن را بر عملکرد دوچرخه‌سواران توسط EEG بررسی کردند. نتایج نشان می‌دهد که با افزایش مدت زمان فعالیت خستگی ذهنی افراد افزایش — که توسط افزایش موج تتا داده شده است — و عملکرد آنها کاهش می‌یابد [۲۴]. Trejo و همکاران در پژوهش خود خستگی ذهنی مبتنی بر EEG و مقیاس بصری آنالوگ را برآورد و طبقه‌بندی کردند. این پژوهش نشان می‌دهد که خستگی ذهنی در مقیاس بصری افزایش و عملکرد افراد به مرور زمان کاهش یافته است. همچنین مقدار توان موج آلفا و تتا کاهش داشته است [۲۵]. Charbonnier و همکاران خستگی ذهنی را در اپراتورهای کنترل با استفاده از EEG و مقیاس KSS بررسی کردند. اپراتورها حین فعالیت خستگی ذهنی را گزارش کردند. همچنین عملکرد آنها و مقدار توان موج آلفا در طول آزمایش کاهش داشته است [۲۶]. Smith و همکاران در پژوهشی اثرات وظیفه‌شناسی را بر شاخص‌های خستگی ذهنی توسط EEG و مقیاس آنالوگ بصری مقایسه کردند. شرکت‌کنندگان خستگی ذهنی خود را توسط مقیاس آنالوگ بصری اذعان داشته‌اند. همچنین متغیرهای امواج آلفا، بتا، دلتا و تتا در روند آزمایش افزایش داشته که خستگی ذهنی را در افراد نشان می‌دهد [۲۷]. در پژوهش دیگری Talukdar

با توجه به نتایج اندازه‌گیری خستگی ذهنی با استفاده از مقیاس آنالوگ بصری و مقایسه آن با خستگی عینی می‌توان گفت که این مقیاس ابزار مناسبی برای ارزیابی حالت خستگی ذهنی افراد نیست.

نتیجه‌گیری

با توجه به اینکه مفهوم خستگی ذهنی چندعاملی است، امکان بررسی همه عوامل مؤثر بر آن در این پژوهش وجود نداشت که از محدودیت‌های این پژوهش است و پژوهش‌های بیشتری برای بررسی این عوامل نیاز است. از دیگر محدودیت‌های این پژوهش می‌توان به بررسی تعداد کم کانال‌ها در نواحی قشر مغز اشاره کرد که می‌توان در پژوهش‌های آتی به بررسی بیشتر نواحی مختلف مغز و همچنین مقایسه بین امواج در هر قشر مغز پرداخت تا بتوان به آگاهی بیشتری از موقعیت امواج و بررسی دقیق‌تر خستگی ذهنی پرداخت. علاوه بر این مقیاس آنالوگ بصری استفاده‌شده برای ارزیابی خستگی ذهنی احتمالاً نامناسب بوده است. با استفاده از یک ابزار حساس‌تر ممکن است بتوان تمایز بیشتری قائل شد. در این پژوهش خستگی ذهنی افراد در فعالیت‌های طولانی مدت شناختی ارزیابی شد. نتایج نشان می‌دهد که سطح خستگی ذهنی در دانشجویان تغییراتی داشته است؛ به‌گونه‌ای که در مراحل انجام آزمایش کاهش در امواج مغزی دیده شد که خستگی ذهنی را نشان می‌داد، اما این کاهش خستگی ذهنی به‌اندازه‌ای که آنها توسط مقیاس خودگزارش‌دهی اعلام کردند، نبود و چندان ارتباط معنی‌داری بین خستگی عینی و ذهنی در دو گروه دیده نشد. از سوی دیگر مشاهده شد بین خستگی ذهنی و کاهش دقت، تمرکز و هوشیاری افراد ارتباط مثبتی وجود دارد که می‌تواند عملکرد آنها را کاهش دهد. نتایج این پژوهش نشان می‌دهد که امواج مغزی می‌تواند شاخص‌های خوبی برای پیش‌بینی زودهنگام خستگی ذهنی باشد.

سپاسگزاری

این مقاله برگفته از پایان‌نامه لیلا نعمت‌پور، دانشجوی کارشناسی ارشد مهندسی بهداشت حرفه‌ای است که با حمایت مالی معاونت پژوهشی دانشگاه جندی‌شاپور اهواز به شماره ۹۷۱۰۴-۶ انجام شده است.

تعارض در منافع

بین نویسندهای هیچ‌گونه تعارضی در منافع وجود ندارد.

باز امواج بتا غالب است و در حالت استراحت یا خواب آلودگی امواج آلفا افزایش می‌یابد و اگر خواب ظاهر شود باندهای با فرکانس کم افزایش می‌یابد. آلفا هنگام بستن چشم‌ها و حالت استراحت تحریک می‌شود و با بازکردن چشم‌ها یا تحریکات ناشی از فکرکردن و محاسبات ذهنی کاهش می‌یابد. هنگامی که افراد چشم‌هایشان را می‌بندند تغییرات فراوانی در الگوهای امواج مغزی رخ می‌دهد و امواج از بتا به آلفا تغییر می‌کند.
ناحیه اصلی تولید آلفا هنوز مشخص نیست [۳۳].

نتایجی که از مقایسه EEG و مقیاس آنالوگ بصری بین دانشجویان در مراحل مختلف آزمایش مشاهده شد، نشان می‌دهد که همبستگی معنی‌داری در این گروه در همه مراحل پژوهش وجود ندارد. در روند مراحل آزمایش دانشجویان خستگی ذهنی خود را به صورت مقیاس آنالوگ بصری بیان کرده‌اند؛ به‌گونه‌ای که با گذشت زمان خستگی ذهنی را تجربه کرده‌اند، اما خستگی عینی ثبت‌شده توسط EEG تغییرات نسبتاً زیادی را در مراحل مختلف آزمون نشان نمی‌دهد. همان‌گونه که بیان شد در مقایسه نتایج آماری ارتباطی بین آن‌ها دیده نشد. برخی از پژوهش‌ها نیز این مطلب را تأیید می‌کنند. پژوهش Gergelyfi و همکاران خستگی ذهنی را در فعالیت‌های شناختی طولانی مدت توسط EEG و پرسشنامه^۱ MFI به همراه رفتارهای مالی و انگیزشی بررسی کرده‌اند. نتایج نشان می‌دهد که بین EEG ثبت‌شده و MFI گزارش‌شده توسط شرکت کنندگان ارتباطی وجود ندارد؛ به‌گونه‌ای که در EEG ثبت‌شده خستگی ذهنی در افراد دیده نشد، اما در MFI این خستگی گزارش شد. علت آن را تأثیر عامل انگیزشی بر خستگی عینی اندازه‌گیری شده اعلام کرده‌اند [۳۴]. در پژوهش Charbonnier و همکاران خستگی ذهنی در اپراتورهای کنترل به دو گروه تقسیم شد. گروهی که خستگی ذهنی را با شاخص بیش از ۰/۴ داشتند و گروهی که کمتر از ۰/۴ بودند. در نهایت مشاهده شد که ارتباط بین KSS و افراد با شاخص EEG بالای ۰/۴ بیشتر بود، اما در افراد کمتر از ۰/۴ این ارتباط دیده نشد [۳۵].

وظیفه‌شناسی طولانی مدت به افزایش خستگی ذهنی و کاهش عملکرد در افراد منجر می‌شود. به‌طور کلی این یافته‌ها نشان می‌دهد که افزایش بار فکری و کاهش عملکرد به ترتیب نشان دهنده روانی و رفتاری خستگی ذهنی هستند. همچنین مشاهده شد که EEG به عنوان یک ابزار اندازه‌گیری خستگی ذهنی به صورت عینی می‌تواند مؤثر باشد. الکتروانسفالوگرافی از ابزارهایی است که برای تصویربرداری از امواج بیولوژیک (حیاتی) به طور وسیعی در حوزهٔ بالینی و پژوهش‌های کاربردی استفاده می‌شود. سیگنال‌های EEG شامل امواج مغزی متفاوتی است که فعالیت الکتریکی مغز را بر طبق جانمایی الکترودها و نواحی مختلف مغز بازتاب می‌دهد. EEG به عنوان یک ابزار بررسی عینی خستگی ذهنی را نشان می‌دهد. برخی پژوهشگران این نتیجه را با استفاده از روش‌های^۲ FMRI و^۳ MEG تأیید کرده‌اند [۳۶، ۳۷].

1. The Multidimensional Fatigue Inventory

2. Functional Magnetic Resonance Imaging

3. Magnetoencephalography

References

1. Wright RA, Stewart CC, Barnett BR. Mental fatigue influence on effort-related cardiovascular response: Extension across the regulatory (inhibitory)/non-regulatory performance dimension. *International Journal of Psychophysiology*. 2008 Aug 1;69(2):127-33.
2. Halvani GH, Baghianimoghadam MH, Rezaei MH. Fatigue situation in tile industries workers. *Iran Occupational Health*. 2007 Sep 15;4(3):57-63.
3. van der Linden D. The urge to stop: The cognitive and biological nature of acute mental fatigue. *Cognitive fatigue: Multidisciplinary perspectives on current research and future applications*. 2011:149-64.
4. Faber LG, Maurits NM, Lorist MM. Mental fatigue affects visual selective attention. *PloS one*. 2012 Oct 31;7(10):e48073.
5. Van der Linden D, Eling P. Mental fatigue disturbs local processing more than global processing. *Psychological research*. 2006 Sep 1;70(5):395-402.
6. Firoozeh M, Kavousi A, Hasanzadeh S. Evaluation of Relationship between Occupational Exposure to Organic Solvent and Fatigue Workers at a Paint Factory in Saveh city. *Iran Occupational Health*. 2017 Jun 15;14(2):82-92.
7. Ghasemkhani M, Abbasinia M, Mahmoodkhani S, Aghaee H, Asghari M. Assessment of fatigue and its relationship with Insomnia Severity Index in shift workers, fixed and rotating, Tehran rolling mills and steel production company. *Iran Occupational Health*. 2013 Jul 15;10(2):79-86.
8. Vecchiato G, Astolfi L, Fallani FD, Cincotti F, Mattia D, Salinari S, Soranzo R, Babiloni F. Changes in brain activity during the observation of TV commercials by using EEG, GSR and HR measurements. *Brain topography*. 2010 Jun 1;23(2):165-79.
9. Chuckravanen D, Rajbhandari S, Bester A. Brain signal analysis using EEG and Entropy to study the effect of physical and mental tasks on cognitive performance. *BRAIN. Broad Research in Artificial Intelligence and Neuroscience*. 2015 Jul 20;5(1-4):46-59.
10. Shen KQ, Ong CJ, Li XP, Hui Z, Wilder-Smith EP. A feature selection method for multilevel mental fatigue EEG classification. *IEEE transactions on biomedical engineering*. 2007 Jun 18;54(7):1231-7.
11. Shankar H, Pesudovs K. Critical flicker fusion test of potential vision. *Journal of Cataract & Refractive Surgery*. 2007 Feb 1;33(2):232-9.
12. Arghami S, Ghoreishi A, Kamali K, Farhadi M. Investigating the consistency of mental fatigue measurements by visual analog scale (vas) and flicker fusion apparatus. *Iranian Journal of Ergonomics*. 2013 Sep 15;1(1):66-72.
13. Xu R, Zhang C, He F, Zhao X, Qi H, Zhou P, Zhang L, Ming D. How physical activities affect mental fatigue based on EEG energy, connectivity, and complexity. *Frontiers in neurology*. 2018;9.
14. Rajavenkatanarayanan A, Kanal V, Tsiakas K, Brady J, Calderon D, Wylie G, Makedon F. Towards a robot-based multimodal framework to assess the impact of fatigue on user behavior and performance: a pilot study. InProceedings of the 12th ACM International Conference on PErvasive Technologies Related to Assistive Environments 2019 Jun 5 ;493-8. ACM.
15. Nematpour L. Investigating mental fatigue and its effect on the performance of the faculty of Health staff by Electroencephalographic Signals. *Journal of Occupational Hygiene Engineering*.:45-53.
16. Zhao C, Zhao M, Liu J, Zheng C. Electroencephalogram and electrocardiograph assessment of mental fatigue in a driving simulator. *Accident Analysis & Prevention*. 2012 Mar 1;45:83-90.
17. Boksem MA, Meijman TF, Lorist MM. Effects of mental fatigue on attention: an ERP study. *Cognitive brain research*. 2005 Sep 1;25(1):107-16.
18. Bijur PE, Silver W, Gallagher EJ. Reliability of the visual analog scale for measurement of acute pain. *Academic emergency medicine*. 2001 Dec;8(12):1153-7.
19. Nedelcu E, Portase R, Tolas R, Muresan R, Dinsooreanu M, Potolea R, editors. *Artifact detection in EEG using machine learning*. 2017 13th IEEE International Conference on Intelligent Computer Communication and Processing (ICCP); 2017: IEEE.
20. Hsu BW, Wang MJ, Chen CY, Chen F. Effective indices for monitoring mental workload while performing multiple tasks. *Perceptual and motor skills*. 2015 Aug;121(1):94-117.
21. Zhang C, Zheng C, Yu X. Evaluation of mental fatigue based on multipsychophysiological parameters and kernel learning algorithms. *Chinese Science Bulletin*. 2008 Jun 1;53(12):1835-47.
22. Fan X, Zhou Q, Liu Z, Xie F. Electroencephalogram assessment of mental fatigue in visual search. *Bio-medical materials and engineering*. 2015 Jan 1;26(s1):S1455-63.
23. Craig A, Tran Y, Wijesuriya N, Nguyen H. Regional brain wave activity changes asso-

- ciated with fatigue. *Psychophysiology*. 2012 Apr;49(4):574-82.
24. Pires FO, Silva-Júnior FL, Brietzke C, Franco-Alvarenga PE, Pinheiro FA, de França NM, Teixeira S, Meireles Santos T. Mental fatigue alters cortical activation and psychological responses, impairing performance in a distance-based cycling trial. *Frontiers in physiology*. 2018 Mar 16;9:227.
25. Trejo LJ, Kubitz K, Rosipal R, Kochavi RL, Montgomery LD. EEG-based estimation and classification of mental fatigue. *Psychology*. 2015 Apr 3;6(05):572.
26. Charbonnier S, Roy RN, Bonnet S, Campagne A. EEG index for control operators' mental fatigue monitoring using interactions between brain regions. *Expert Systems with Applications*. 2016 Jun 15;52:91-8.
27. Smith MR, Chai R, Nguyen HT, Marcora SM, Coutts AJ. Comparing the effects of three cognitive tasks on indicators of mental fatigue. *The Journal of psychology*. 2019 Jun 6:1-25.
28. Talukdar U, Hazarika SM, Gan JQ. Motor imagery and mental fatigue: inter-relationship and EEG based estimation. *Journal of computational neuroscience*. 2018: 1-22.
29. Eoh HJ, Chung MK, Kim SH. Electroencephalographic study of drowsiness in simulated driving with sleep deprivation. *International Journal of Industrial Ergonomics*. 2005 Apr 1;35(4):307-20.
30. Jap BT, Lal S, Fischer P. Comparing combinations of EEG activity in train drivers during monotonous driving. *Expert Systems with Applications*. 2011 Jan 1;38(1):996-1003.
31. Hsu BW, Wang MJ. Evaluating the effectiveness of using electroencephalogram power indices to measure visual fatigue. *Perceptual and motor skills*. 2013 Feb;116(1):235-52.
32. Rosipal R, Trejo LJ, Zaidel E. Atomic Decomposition of EEG for Mapping Cortical Activation. In: *Tensor Methods for Machine Learning Workshop* 2013 Sep.
33. Niedermeyer E, da Silva FL. *Electroencephalography: basic principles, clinical applications, and related fields*: Lippincott Williams & Wilkins; 2005.
34. Gergelyfi M, Jacob B, Olivier E, Zénon A. Dissociation between mental fatigue and motivational state during prolonged mental activity. *Frontiers in behavioral neuroscience*. 2015 Jul 13;9:176.
35. Bowyer SM, Hsieh L, Moran JE, Young RA, Manoharan A, Liao CC, Malladi K, Yu YJ, Chiang YR, Tepley N. Conversation effects on neural mechanisms underlying reaction time to visual events while viewing a driving scene using MEG. *Brain research*. 2009 Jan 28;1251:151-61.
36. Hsieh L, Young RA, Bowyer SM, Moran JE, Genik II RJ, Green CC, Chiang YR, Yu YJ, Liao CC, Seaman S. Conversation effects on neural mechanisms underlying reaction time to visual events while viewing a driving scene: fMRI analysis and asynchrony model. *Brain Research*. 2009 Jan 28;1251:162-75.